



# Aula-3

## Interferência

Física Geral IV, F 428

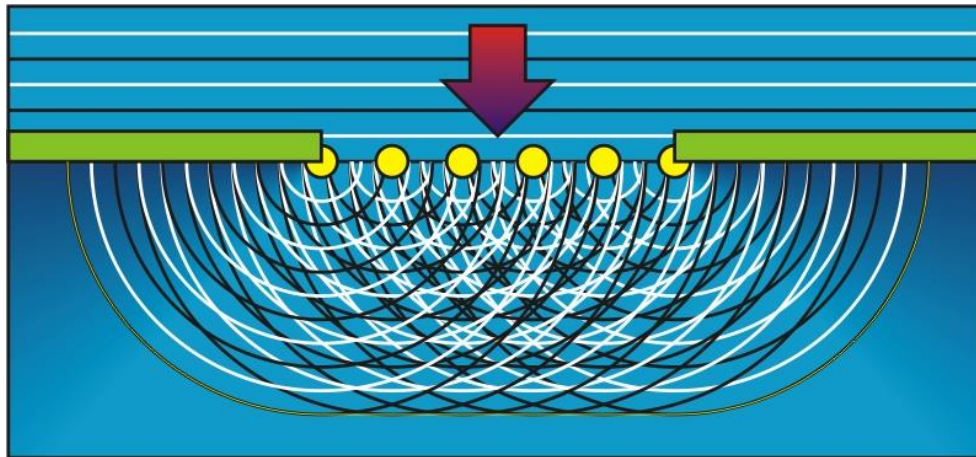
# Princípio de Huygens

- Christiaan Huygens (1629-1695), físico holandês, apresentou a primeira teoria ondulatória da luz em 1678.
- Teoria mais simples que a Teoria de Maxwell (~ 1865), e permite explicar as leis da reflexão e da refração em termos de ondas.

# Princípio de Huygens

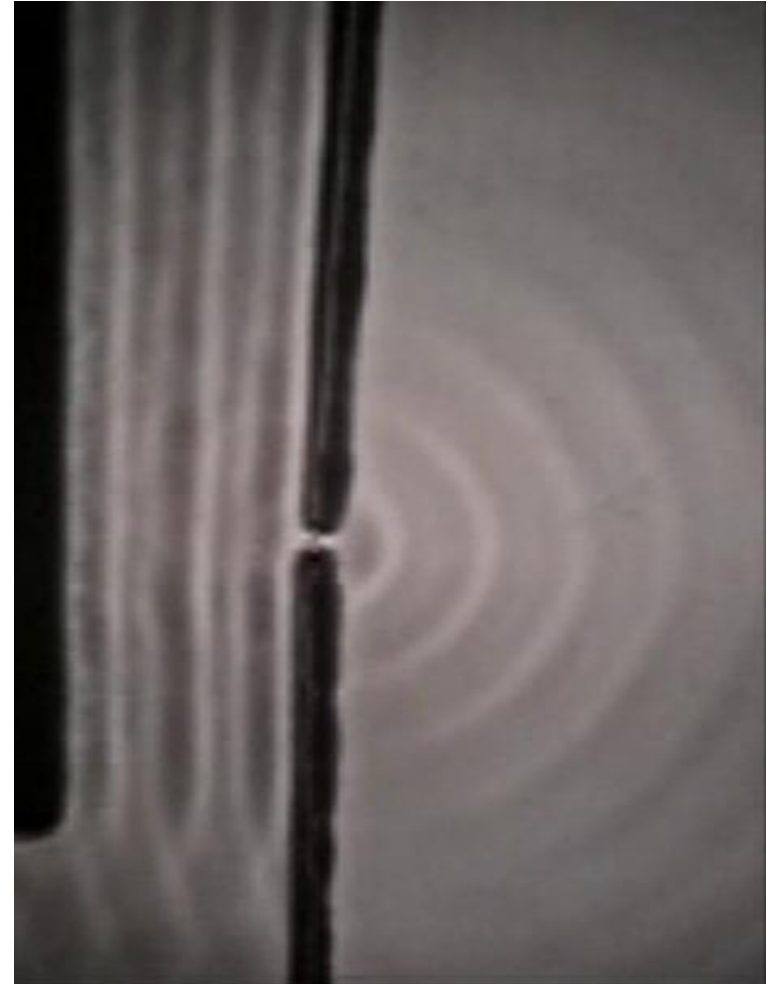
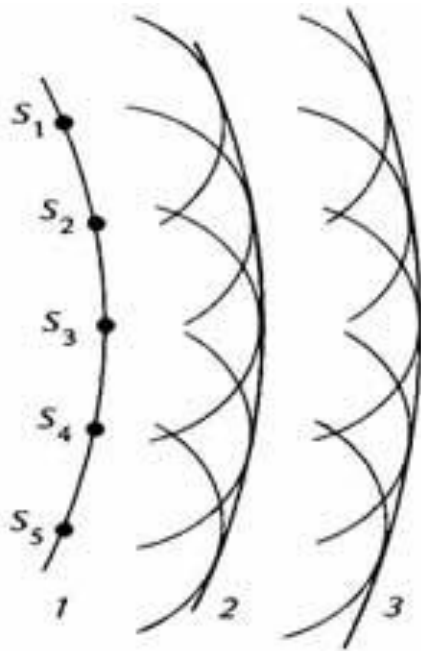
- Todos os pontos de uma frente de onda se comportam como **fontes pontuais** para ondas secundárias.
- Depois de um intervalo de tempo  $t$ , a nova posição da frente de onda é dada por uma superfície tangente a estas ondas secundárias.

<http://id.mind.net/~zona/mstm/physics/waves/propagation/huygens3.html>



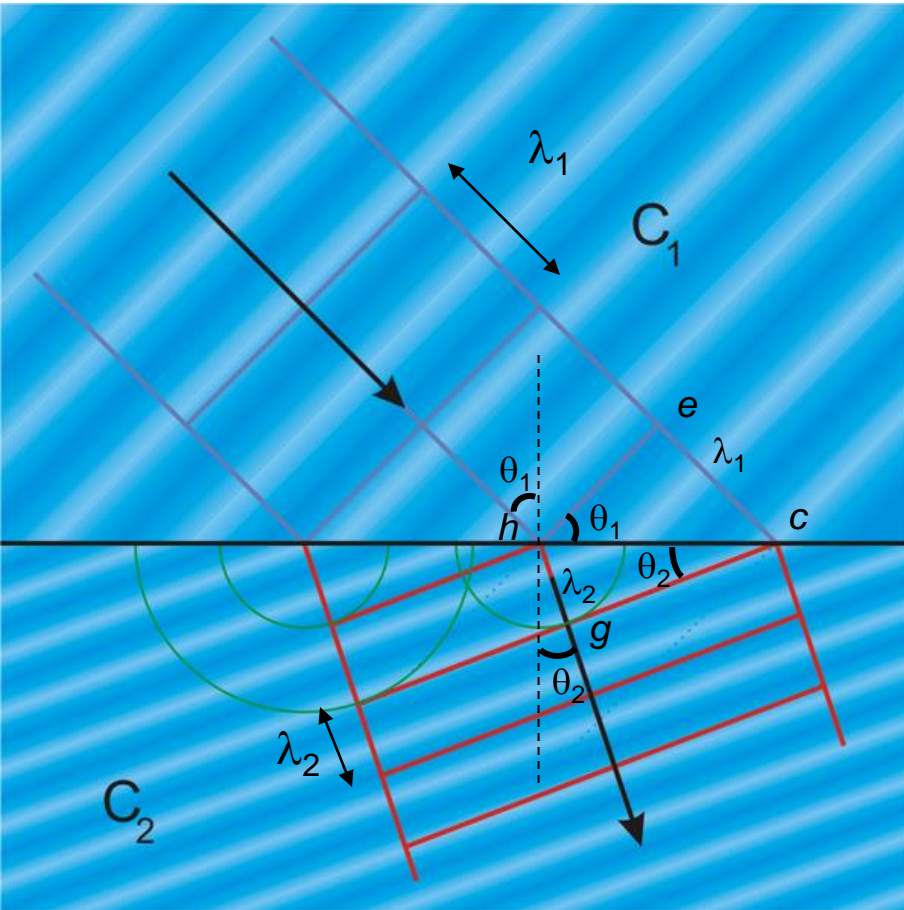
<http://www.colorado.edu/physics/2000/index.pl>

# Difração: o princípio de Huygens



(onda + obstáculo = difração<sup>4</sup>)

# A refração e a Lei de Snell



$$\Delta t_1 = \Delta t_2$$

$$\frac{\lambda_1}{v_1} = \frac{\lambda_2}{v_2} \Rightarrow \frac{\lambda_1}{\lambda_2} = \frac{v_1}{v_2}$$

$$\sin \theta_1 = \frac{\lambda_1}{hc}$$

$$\sin \theta_2 = \frac{\lambda_2}{hc}$$

$$\Rightarrow \frac{\sin \theta_1}{\sin \theta_2} = \frac{\lambda_1}{\lambda_2} = \frac{v_1}{v_2}$$

# A lei da refração

Definição índice de refração:  $n = \frac{c}{v}$

No nosso caso:

$$n_1 = \frac{c}{v_1}$$

$$n_2 = \frac{c}{v_2}$$

$$\Rightarrow \frac{\sin \theta_1}{\sin \theta_2} = \frac{\frac{c}{n_1}}{\frac{c}{n_2}} = \frac{n_2}{n_1}$$

ou

$$n_1 \sin \theta_1 = n_2 \sin \theta_2$$

Lei de Snell <sub>6</sub>



# Refração e Lei de Snell

Já vimos a *Lei de Snell*:

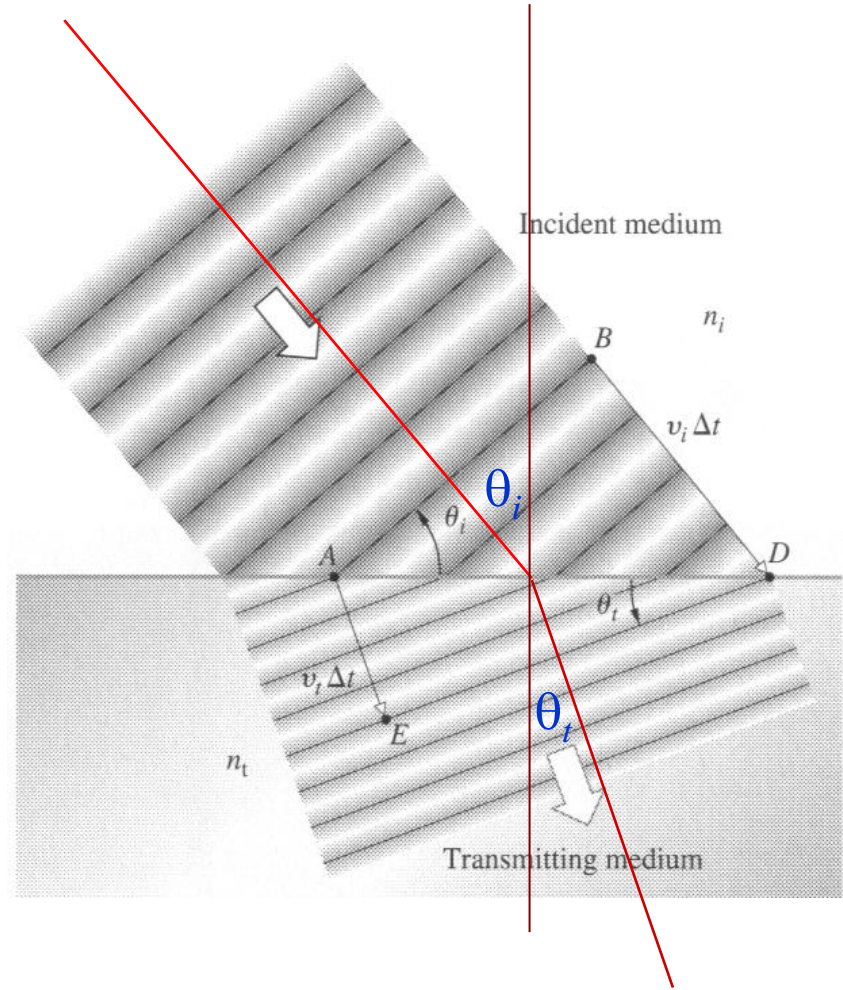
$$n_i \sin \theta_i = n_t \sin \theta_t$$

onde:

$$n_i \equiv \frac{c}{v_i}$$

ou:

$$v_i \equiv \frac{c}{n_i}$$



# Frequência e Comprimento de Onda na Refração

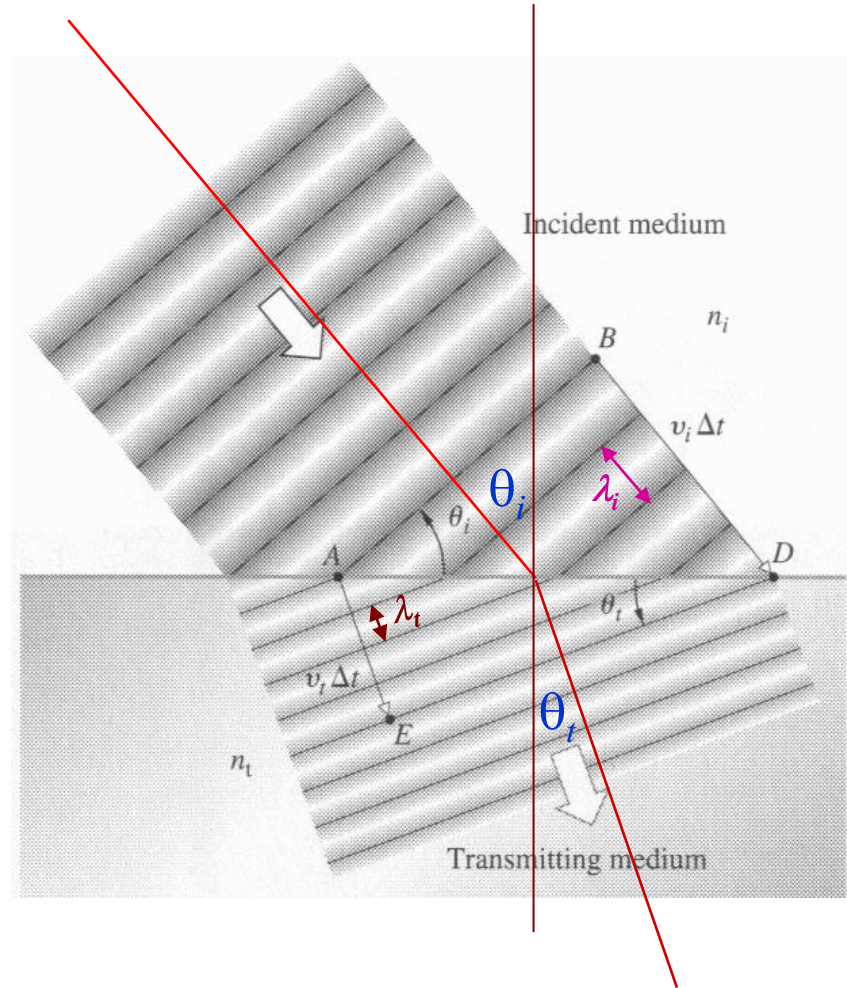
Temos:

$$\frac{n_i}{n_t} = \frac{\sin \theta_t}{\sin \theta_i} = \frac{4\lambda_t / \overline{AD}}{4\lambda_i / \overline{AD}}$$

logo:  $\lambda_t = \frac{n_i}{n_t} \lambda_i$

se  $n_i = 1$  (vácuo):

$$\lambda_t = \frac{\lambda}{n_t}$$





Quanto à frequência ( $f$ ) ,...

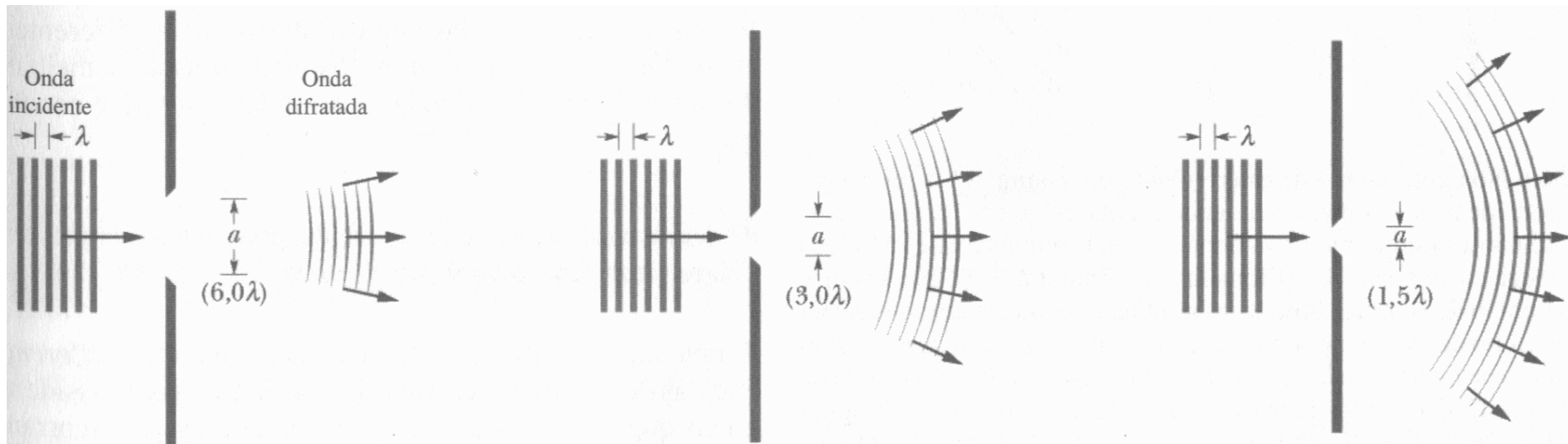
$$\frac{f_t}{f_i} = \frac{v_t / \lambda_t}{v_i / \lambda_i} = \frac{v_t \lambda_i}{v_i \lambda_t} = \left( \frac{c/n_t}{c/n_i} \right) \left( \frac{\lambda / n_i}{\lambda / n_t} \right) = \frac{n_i}{n_t} \frac{n_t}{n_i} = 1$$

...ela é a mesma, no meio material e no vácuo.

*A frequência da luz não muda na passagem da luz de um meio para o outro!*

# Difração

A difração é mais perceptível quando a abertura é da ordem do comprimento de onda da onda incidente.



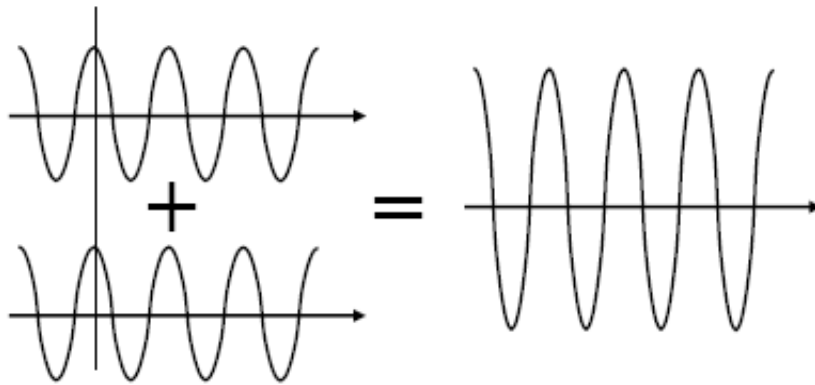
$$\lambda \ll a$$

$$\lambda < a$$

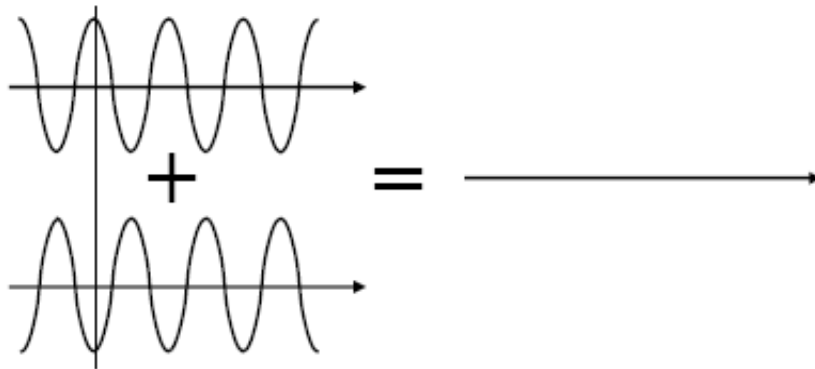
$$\lambda \approx a$$

# Lembrando:

## Interferência $\Rightarrow$ superposição



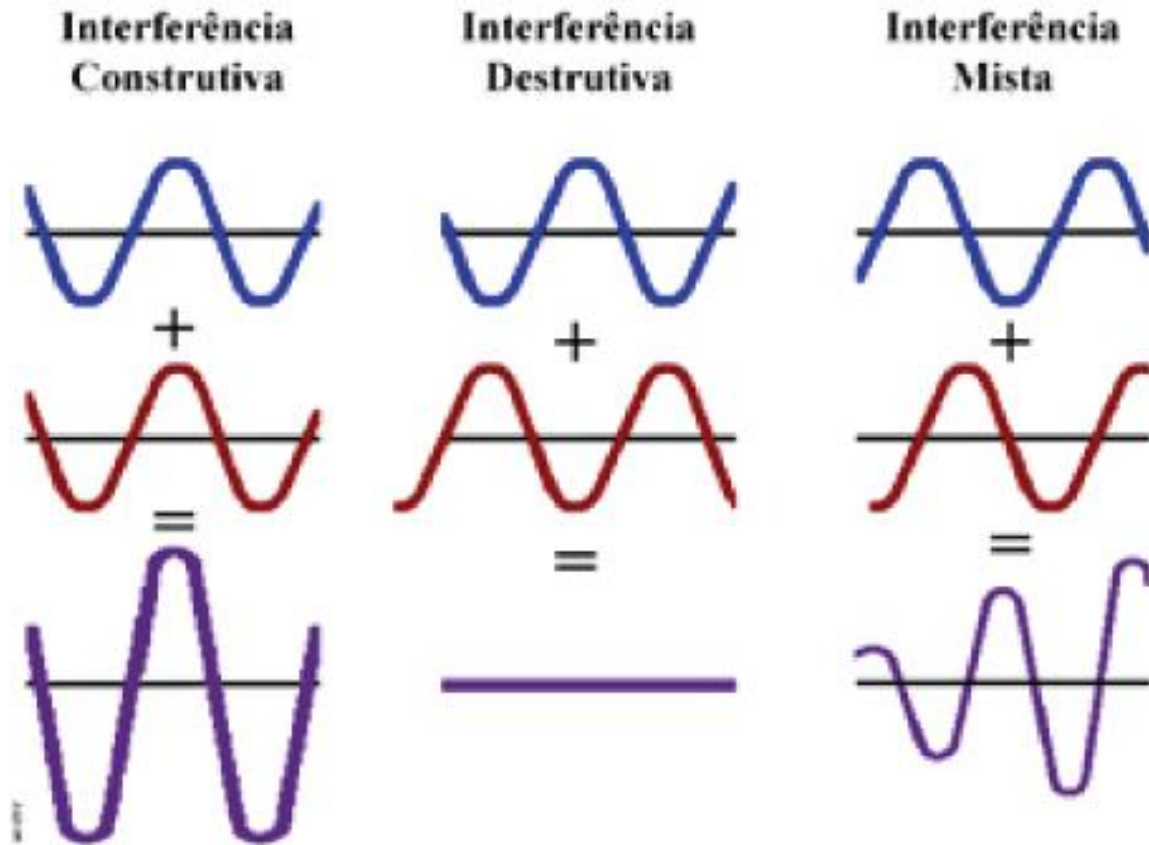
Interferência construtiva



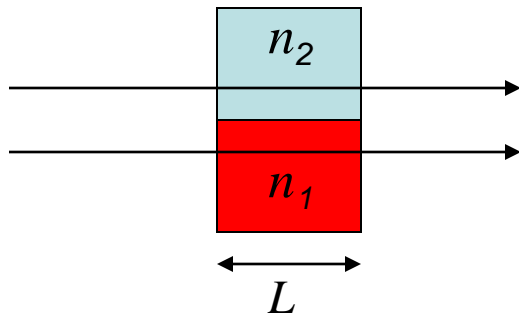
Interferência destrutiva

Se as duas ondas vão interferir construtivamente ou destrutivamente vai depender da diferença de fase entre elas.

# Interferência: construtiva / destrutiva



# Diferença de caminho óptico



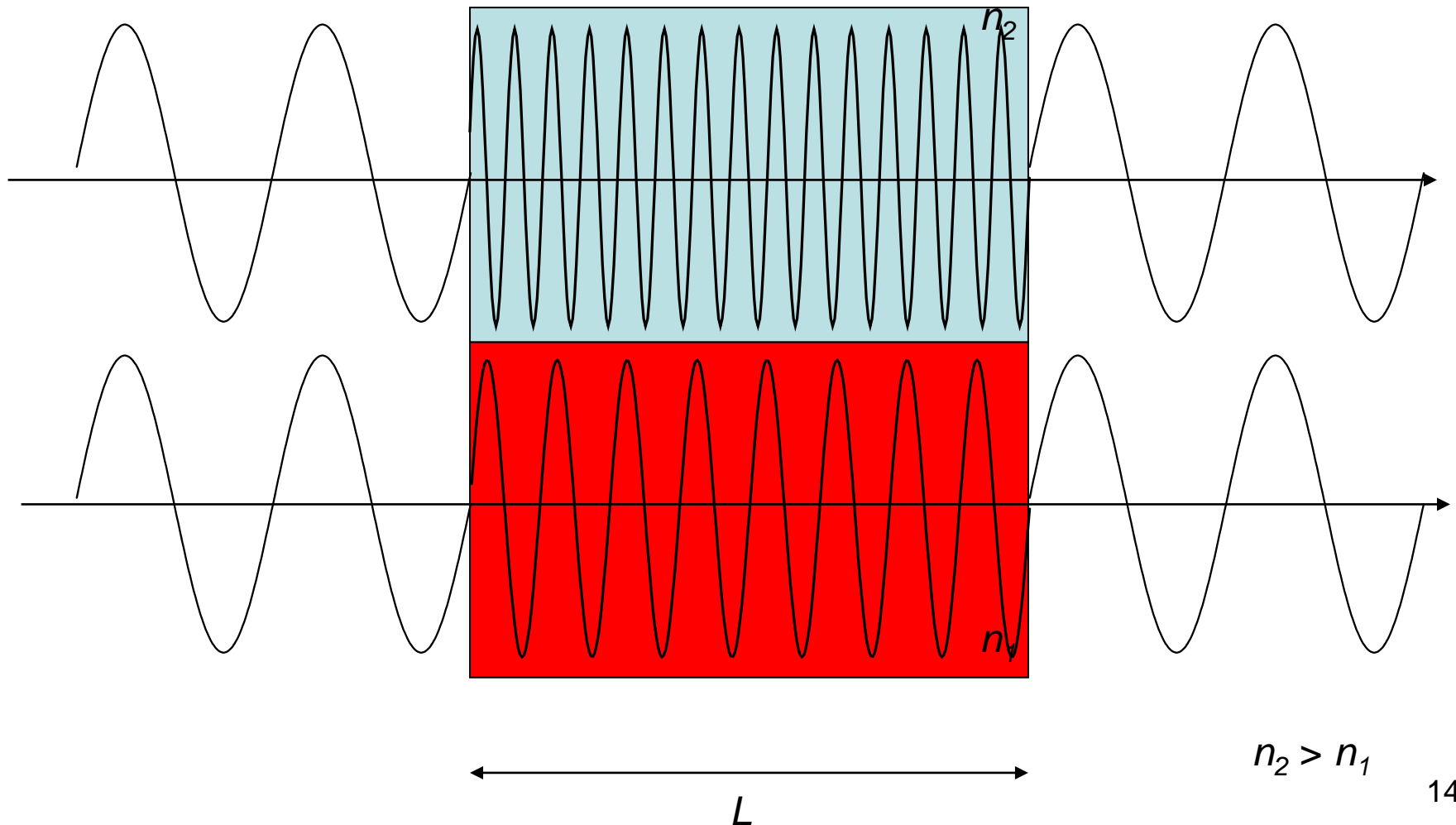
$N \rightarrow$  é o número de comprimentos de onda naquele meio que cabem em  $L$

$$\lambda_n = \lambda \frac{v}{c} = \frac{\lambda}{n}$$

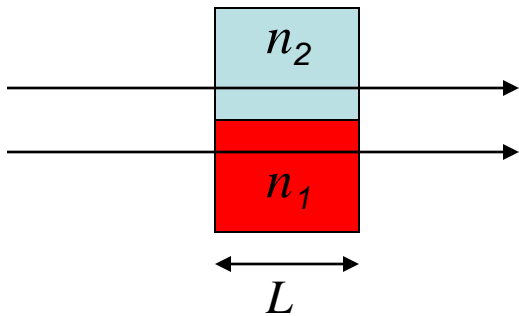
$$\left. \begin{array}{l} N_1 = \frac{L}{\lambda_{n_1}} = \frac{Ln_1}{\lambda} \\ N_2 = \frac{L}{\lambda_{n_2}} = \frac{Ln_2}{\lambda} \end{array} \right\} N_2 - N_1 = \frac{L}{\lambda}(n_2 - n_1)$$



# Diferença de caminho óptico



# Diferença de caminho óptico



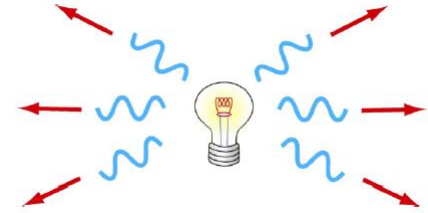
$N \rightarrow$  é o número de comprimentos de onda naquele meio que cabem em  $L$

$$\left. \begin{aligned} N_1 &= \frac{L}{\lambda_{n_1}} = \frac{Ln_1}{\lambda} \\ N_2 &= \frac{L}{\lambda_{n_2}} = \frac{Ln_2}{\lambda} \end{aligned} \right\} N_2 - N_1 = \frac{L}{\lambda}(n_2 - n_1)$$

$N_2 - N_1 = \textit{semi} - \textit{inteiro} \rightarrow$  Interferência destrutiva ( $\pi$ )

$N_2 - N_1 = \textit{inteiro} \rightarrow$  Interferência construtiva ( $2\pi$ )

# Coerência



A maior parte das fontes luminosas é apenas parcialmente coerente ou então incoerente.

Fontes coerentes → a diferença de fase entre as ondas por elas produzidas não varia com o tempo.

Exemplos:

- Lâmpada comum: incoerente (tempo de coerência  $\sim 10^{-8}$  s)
- Sol: parcialmente coerente
- Luz laser: coerente

(No experimento de Young que veremos a seguir, a primeira fenda é essencial para que as duas fendas seguintes atuem como fontes coerentes).

# Thomas Young (1773 -1829)

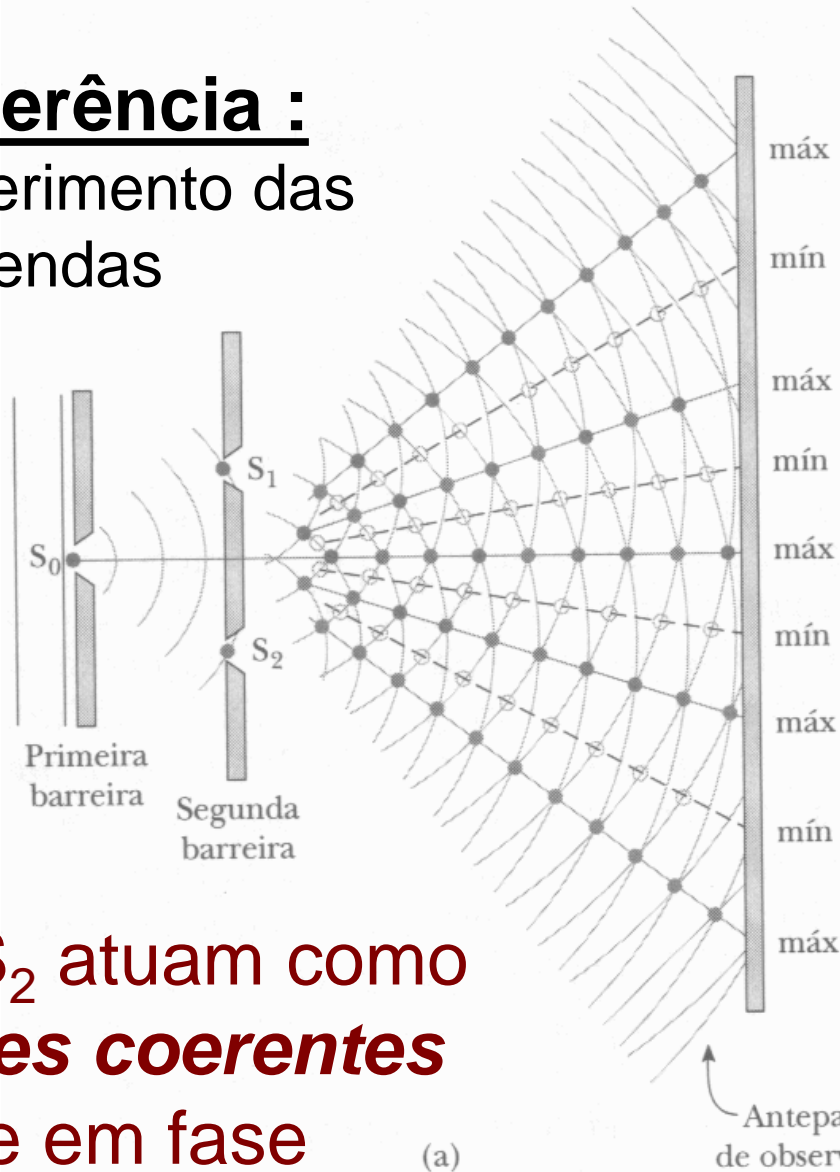
- Físico e médico inglês, estudou a sensibilidade do olho humano para as cores. Ele propôs a existência de três regiões diferentes em forma de cones na retina do olho, que têm sensibilidade para as cores vermelho azul e verde: o princípio é usado na TV colorida.
- Em 1800, no trabalho *Outlines of Experiments and Enquires Respecting Sound and Light*, ele comparou os modelos de Newton e Huygens para a luz, dando suporte à interpretação ondulatória.
- Young ainda deu contribuições importantes na teoria da elasticidade (módulo de Young), e na egiptologia.
- Young mediu  $\lambda_{\text{méd}} = 570 \text{ nm}$  da luz solar (hoje 555 nm).



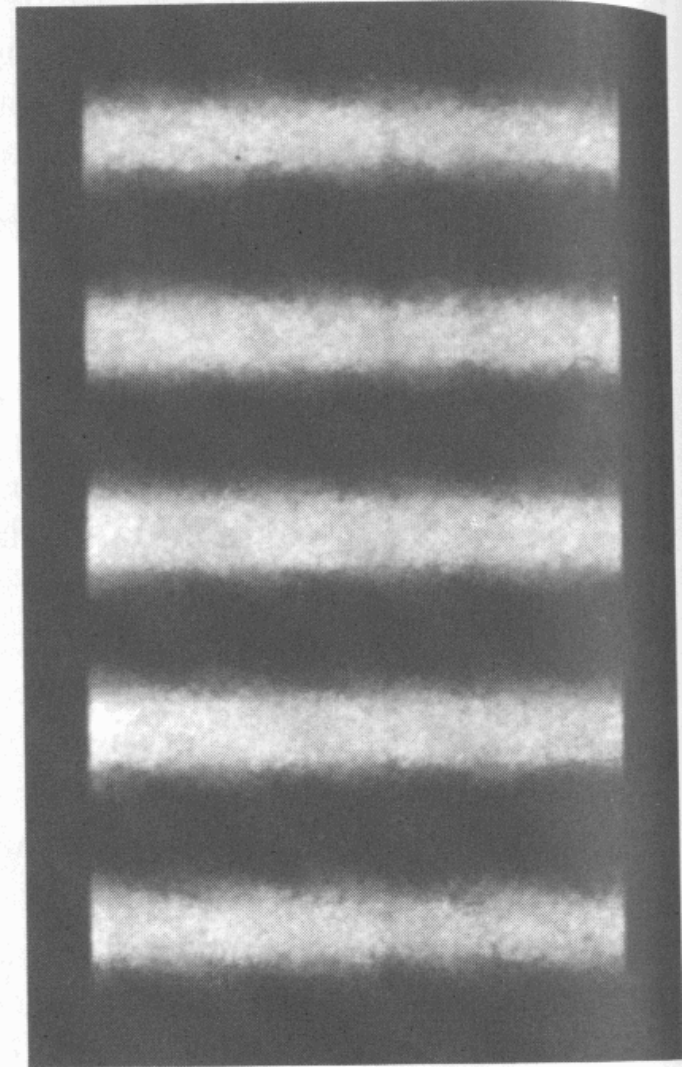
# O Experimento de Young (1801)

## Interferência :

O experimento das duas fendas

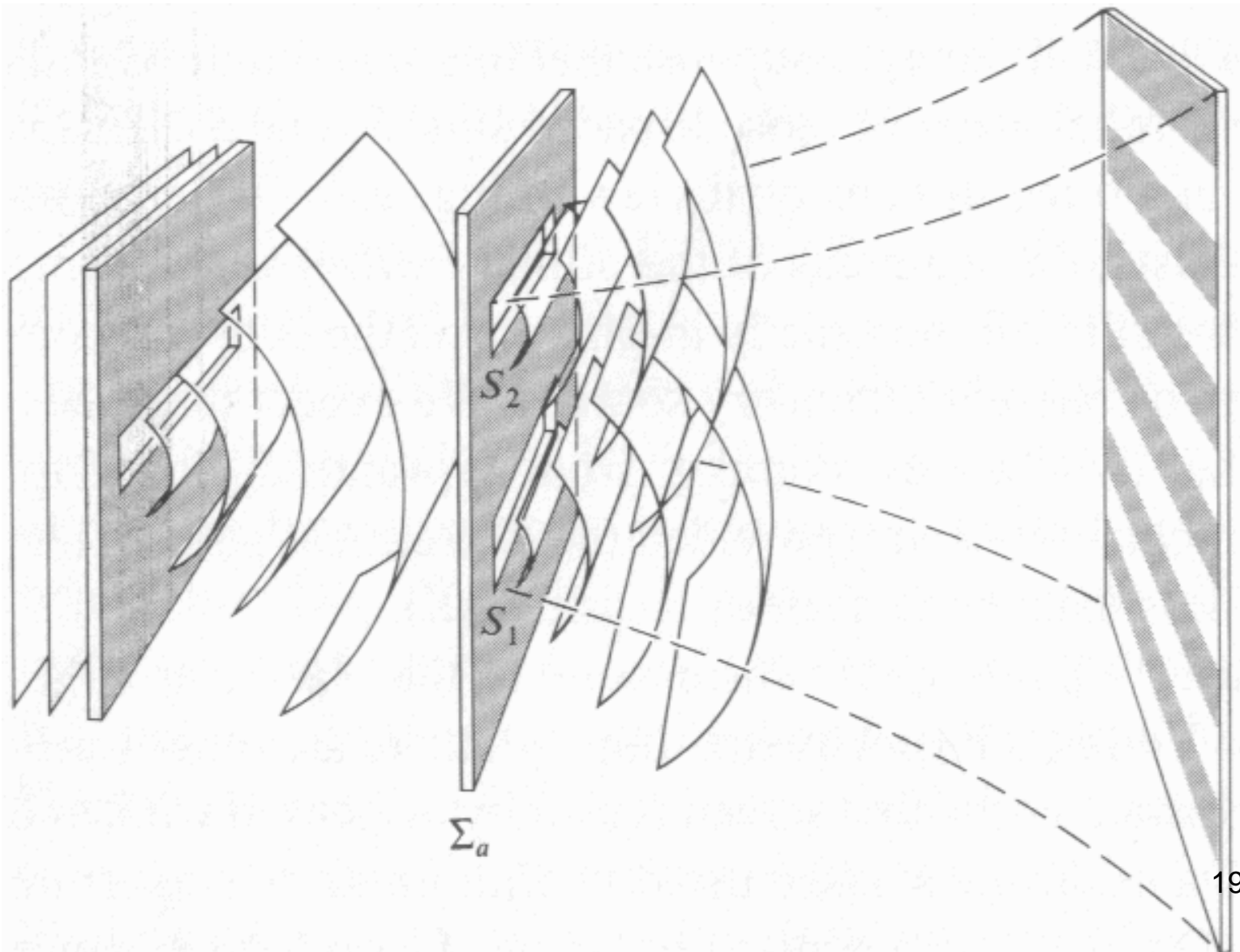


$S_1$  e  $S_2$  atuam como  
***fontes coerentes***  
e em fase

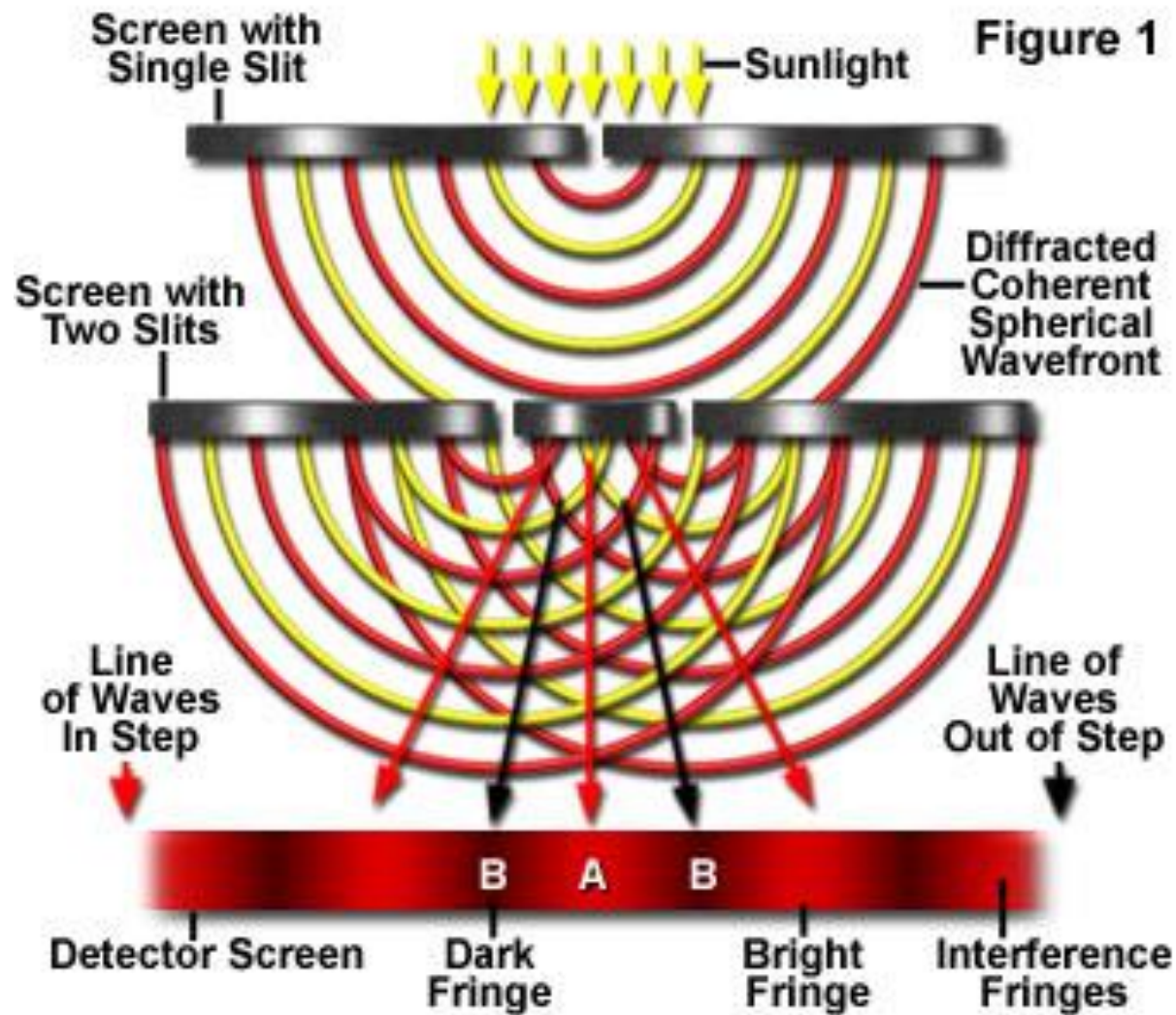




## Visão tridimensional da montagem:

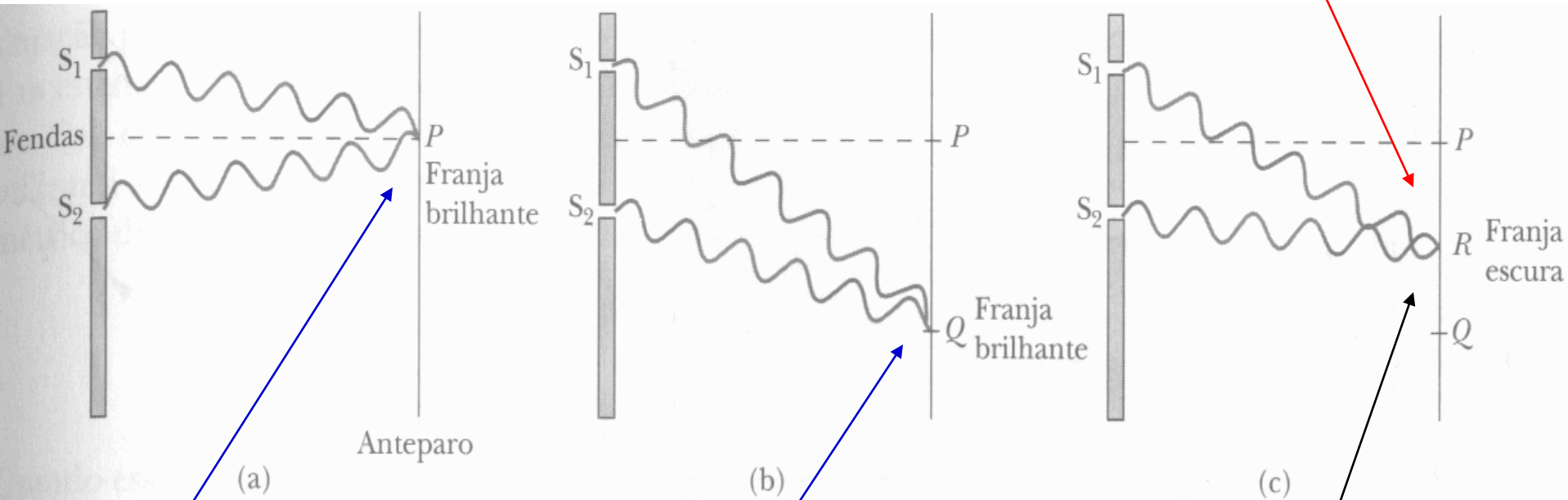


## Thomas Young's Double Slit Experiment



Temos a formação de franjas devido à diferença de percursos ópticos das ondas provenientes de cada fenda:

Ondas fora de Fase: Interferência Destrutiva

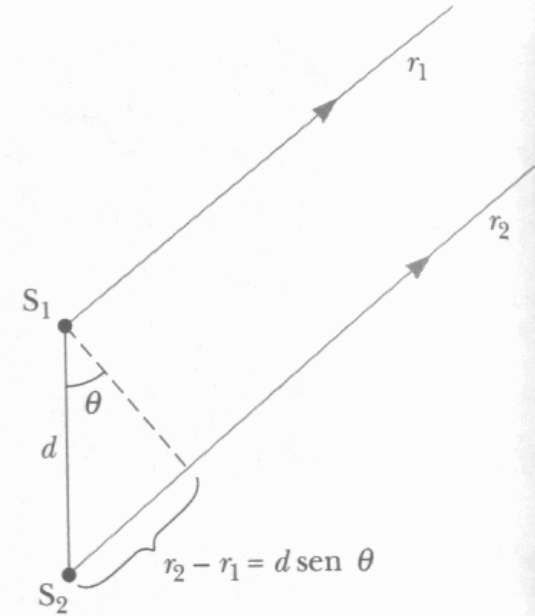
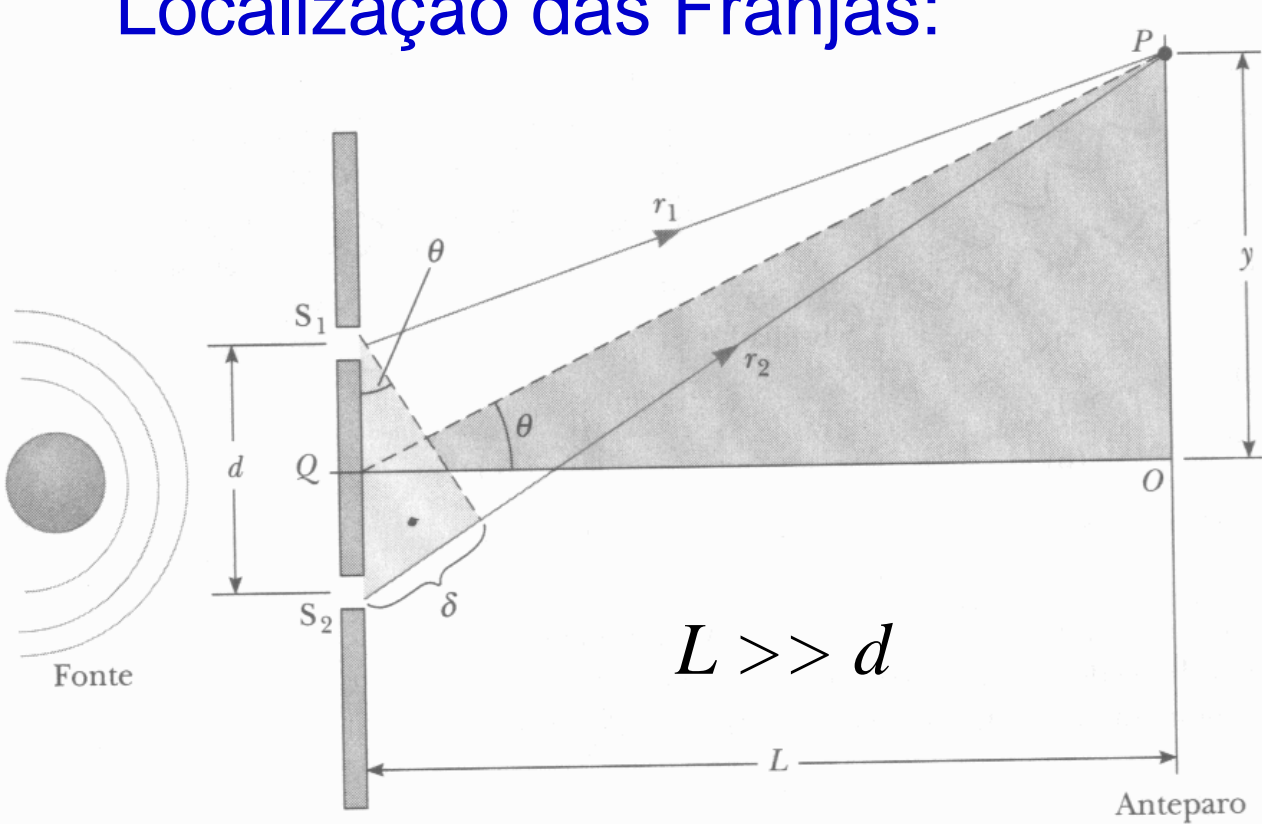


Ondas em Fase: Interferência Construtiva

$R$  a meia distância  
entre  $P$  e  $Q$  21

Figuras não estão em escala!!!

## Localização das Franjas:



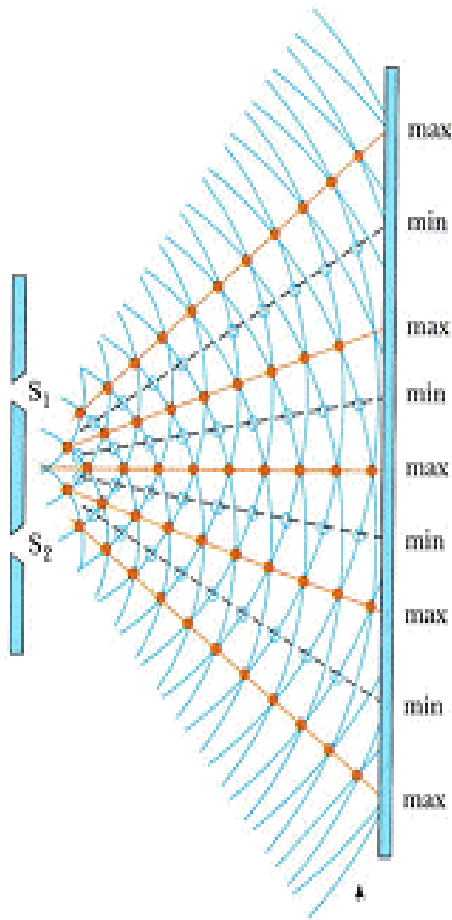
$$\delta = r_2 - r_1 \approx d \sin \theta$$

**Franja clara:**  $\delta = m \lambda$  ;  $d \sin \theta = m \lambda$  ,  $m = 0, \pm 1, \pm 2, \dots$   
(interferência construtiva)

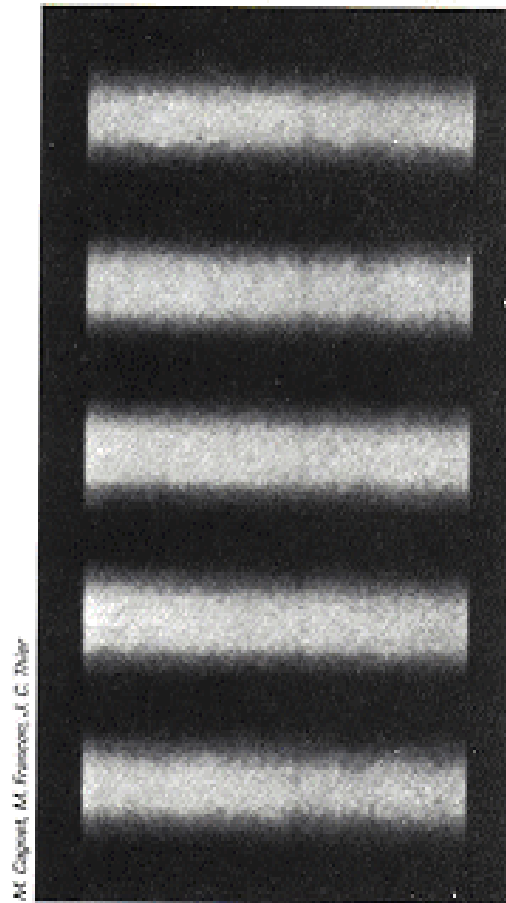
**Franja escura:**  $\delta = (m + 1/2) \lambda$  ;  $d \sin \theta = (m + 1/2) \lambda$   
(interferência destrutiva)

# Franjas

$$\left\{ \begin{array}{l} \text{Claros: } d \sin \theta = m\lambda \\ \text{Escuras: } d \sin \theta = (m + 1/2) \lambda \end{array} \right.$$



(a)



(b)

$m = 2$  (Máx. Lateral de 2ª ordem)

$m = 1$  (Mín. Lateral de 2ª ordem)

$m = 1$  (Máx. Lateral de 1ª ordem)

$m = 0$  (Mín. Lateral de 1ª ordem)

$m = 0$  (Máximo central)

$m = 0$  (Mín. Lateral de 1ª ordem)

$m = 1$  (Máx. Lateral de 1ª ordem)

$m = 1$  (Mín. Lateral de 2ª ordem)

$m = 2$  (Máx. Lateral de 2ª ordem)



Cuidado:  $\tan\theta \sim \sin\theta$  vale para ângulos pequenos ( $<5^\circ$ ); a aproximação  $\theta \sim \sin\theta$  vale somente para  $\theta$  expresso em radianos!!!!

## Posições no Anteparo

Para ângulos pequenos temos:  $\theta \approx \tan\theta \approx \sin\theta$

Para os máximos mais centrais:

$$d \sin\theta = m\lambda$$

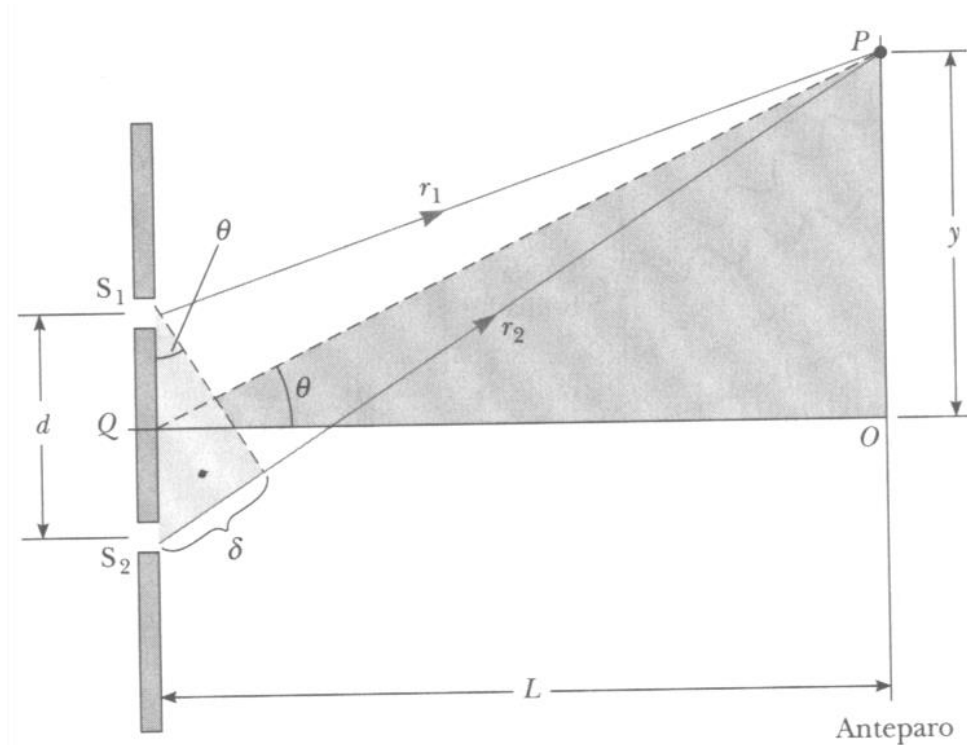
$$d \tan\theta \approx m\lambda$$

$$d \frac{y_m}{L} \approx m\lambda$$

$$y_m \approx m \frac{\lambda L}{d}$$

Analogamente, para os mínimos mais centrais:

$$y_m \approx \left(m + \frac{1}{2}\right) \frac{\lambda L}{d}$$



# Posições no Anteparo

$$y_m \approx m \frac{\lambda L}{d} \qquad y_{m+1} \approx (m+1) \frac{\lambda L}{d}$$

O espaçamento entre as franjas será :

$$\Delta y = y_{m+1} - y_m \approx \frac{\lambda L}{d}$$

Se  $d$  e  $\theta$  são pequenos, a distância entre as franjas independe de  $m$  !

**Um exemplo: Uma luz de um laser ilumina um anteparo com duas fendas. A distância entre as fendas é de 0,03 mm e as franjas de interferência são observadas em um anteparo a 1,2 m. A franja brilhante de 2ª ordem está a 5,1 cm da linha central.**

**A) Qual é o comprimento de onda do laser?**

**B) Qual é a distância entre as franjas brilhantes adjacentes?**

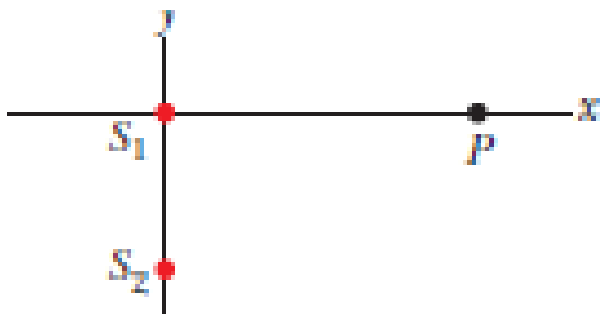
$$A) \tan \theta = 5,1 \times 10^{-2} / 1,2 = 0,0425$$

$$\sin \theta = 2\lambda / 0,03 \Rightarrow \lambda = 637,5 \text{ nm}$$

$$B) 5,1 / 2 = 2,55 \approx 2,6 \text{ cm}$$

Outro exemplo:

Na figura , duas fontes pontuais isotrópicas  $S_1$  e  $S_2$  estão sobre o eixo  $y$ , separadas por uma distância de  $2,7\mu\text{m}$ , e emitem em fase com um comprimento de onda de  $900\text{ nm}$ . Um detector de luz é colocado no ponto  $P$ , situado sobre o eixo  $x$ , a uma distância  $x_P$  da origem. Qual é o maior valor de  $x_P$  para o qual a luz detectada é mínima devido a uma interferência destrutiva?



$$\sqrt{d^2 + x^2} - x = (m + 1/2)\lambda$$

$$x = \frac{d^2}{(2m+1)\lambda} - \frac{(2m+1)\lambda}{4}$$

*para o maior valor de  $x$ , faz-se  $m = 0$*

$$x_0 = \frac{d^2}{\lambda} - \frac{\lambda}{4} = 8,75\lambda = 7,88\mu\text{m}$$

*Para se convencer disso, substitua  $m=1,2$ , etc..*

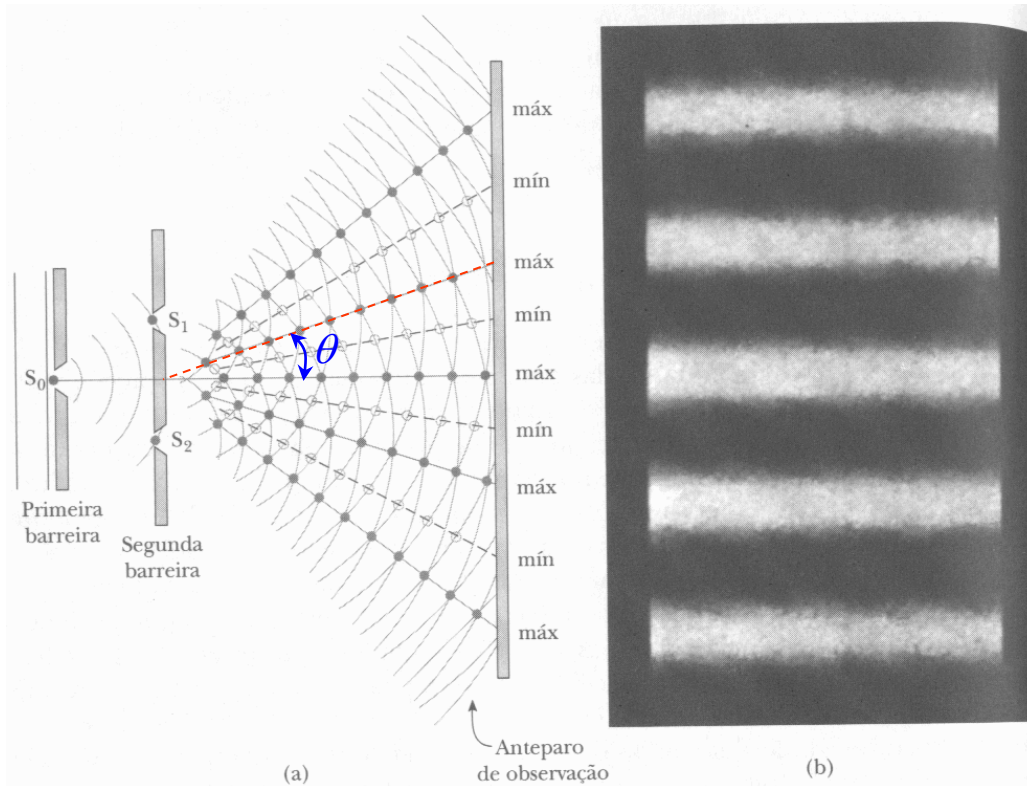
# Intensidade das Franjas de Interferência

A interferência entre  $S_1$  e  $S_2$ , de intensidades  $I_0$  na tela, leva a energia luminosa a ser **redistribuída** no anteparo segundo a equação:

$$I = 4I_0 \cos^2\left(\frac{1}{2}\phi\right)$$

onde:

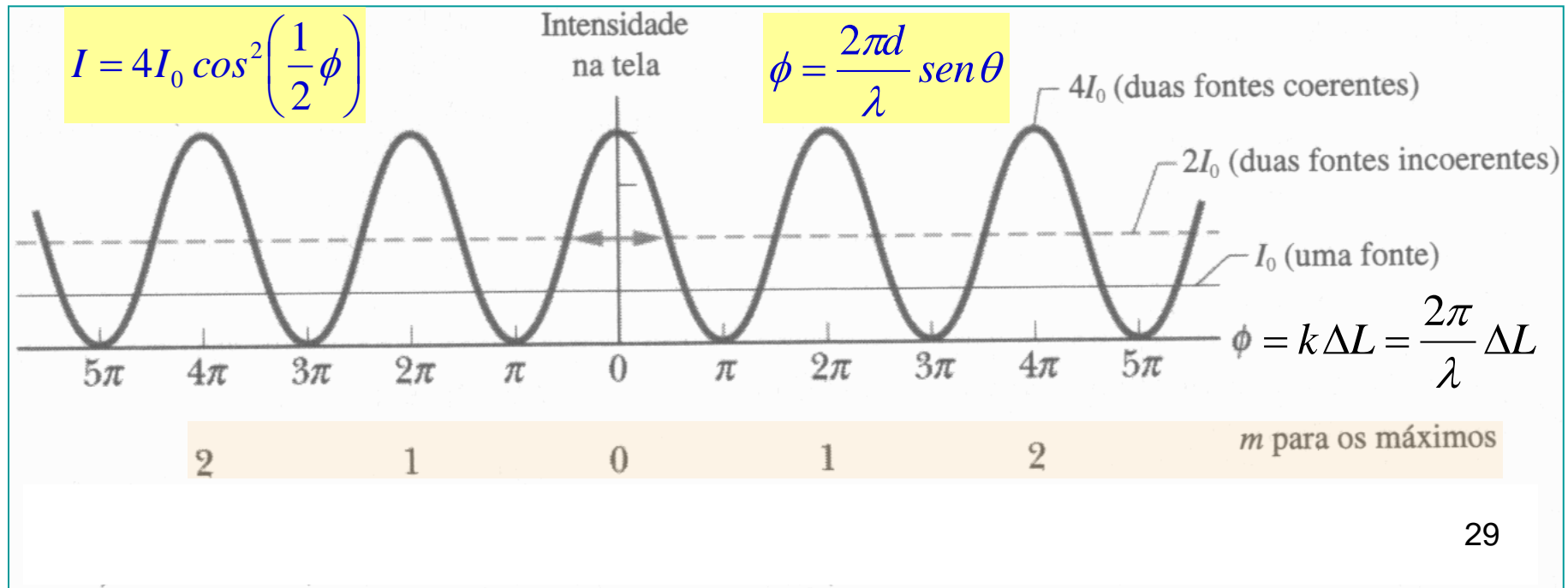
$$\phi = \frac{2\pi d}{\lambda} \sin \theta$$





- Os máximos de intensidade ocorrem em: ( $m = 0, 1, 2, \dots$ )

$$\frac{1}{2}\phi = m\pi \Rightarrow \frac{\pi d}{\lambda} \text{sen } \theta = m\pi \Rightarrow d \text{ sen } \theta = m\lambda$$

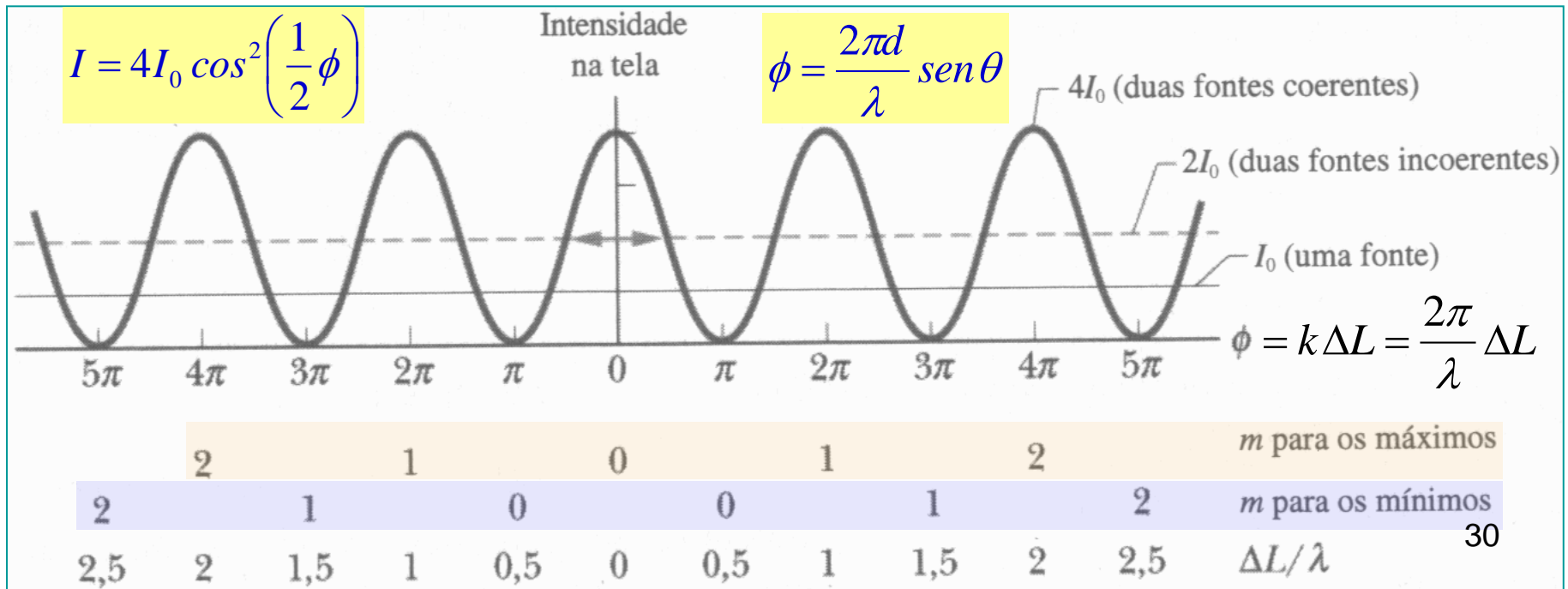


- Os máximos de intensidade ocorrem em: ( $m = 0, 1, 2, \dots$ )

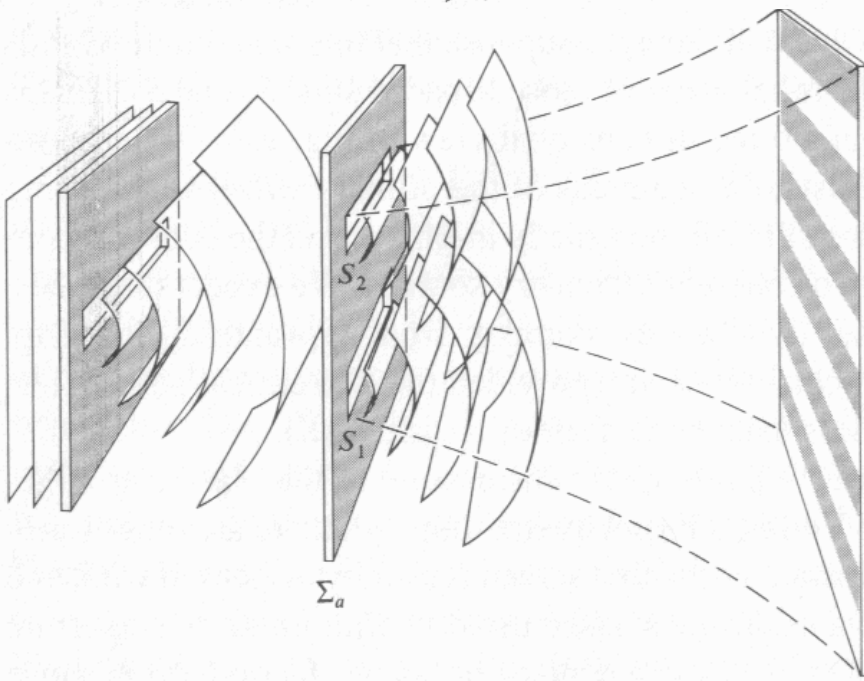
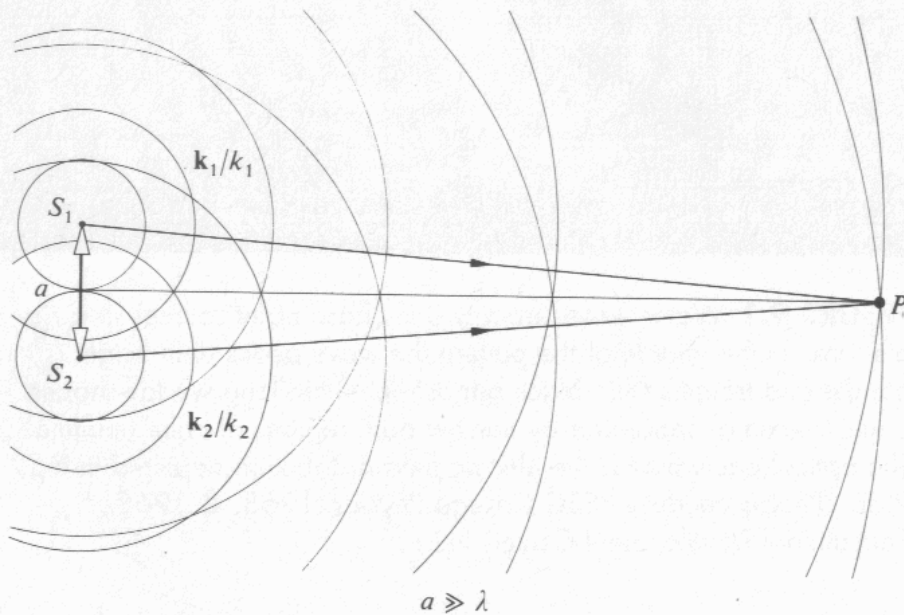
$$\frac{1}{2}\phi = m\pi \Rightarrow \frac{\pi d}{\lambda} \sin \theta = m\pi \Rightarrow d \sin \theta = m\lambda$$

- Os mínimos em:

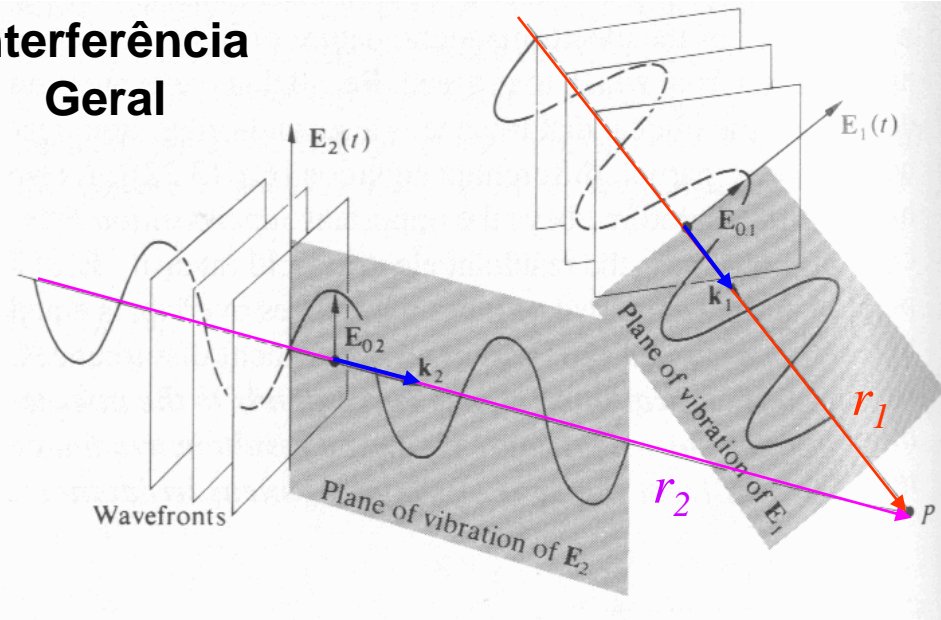
$$\frac{1}{2}\phi = \left(m + \frac{1}{2}\right)\pi \Rightarrow d \sin \theta = \left(m + \frac{1}{2}\right)\lambda$$



# Demonstração da Equação para a Intensidade das Franjas:



## Interferência Geral

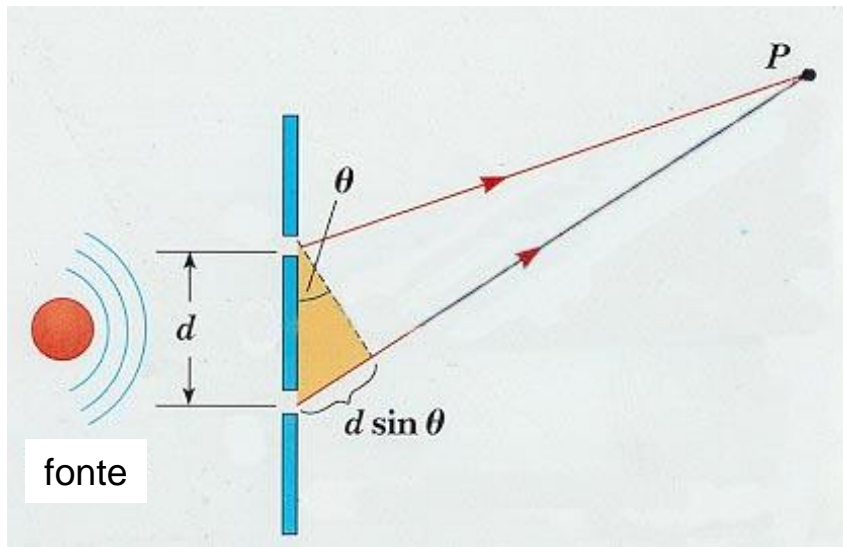


No caso do experimento de Young temos:

$$E_{01} = E_{02}$$

Assim, os campos elétricos só diferem na fase.

# Intensidade das franjas de interferência



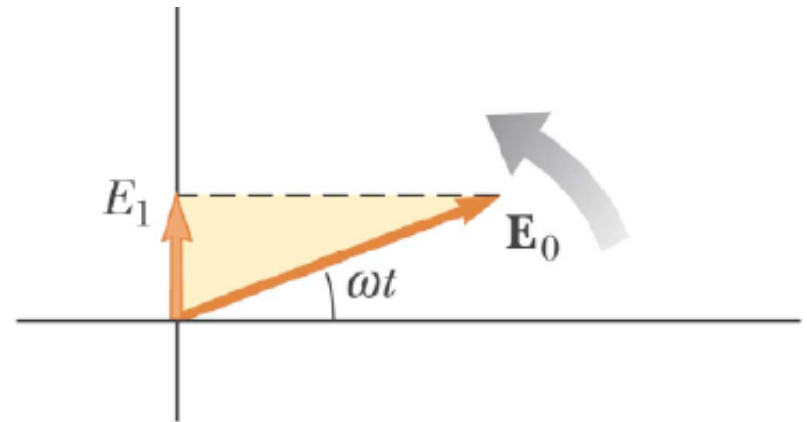
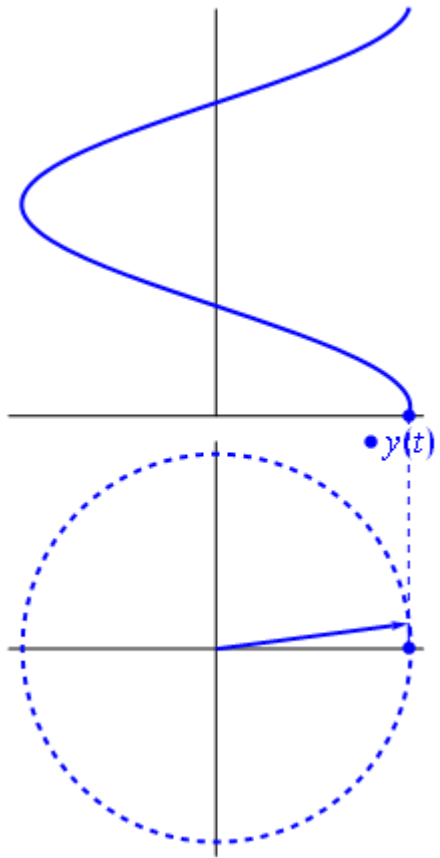
No ponto  $P$ :

$$\vec{E}_1 = \vec{E}_0 \sin \omega t$$

$$\vec{E}_2 = \vec{E}_0 \sin(\omega t + \phi)$$

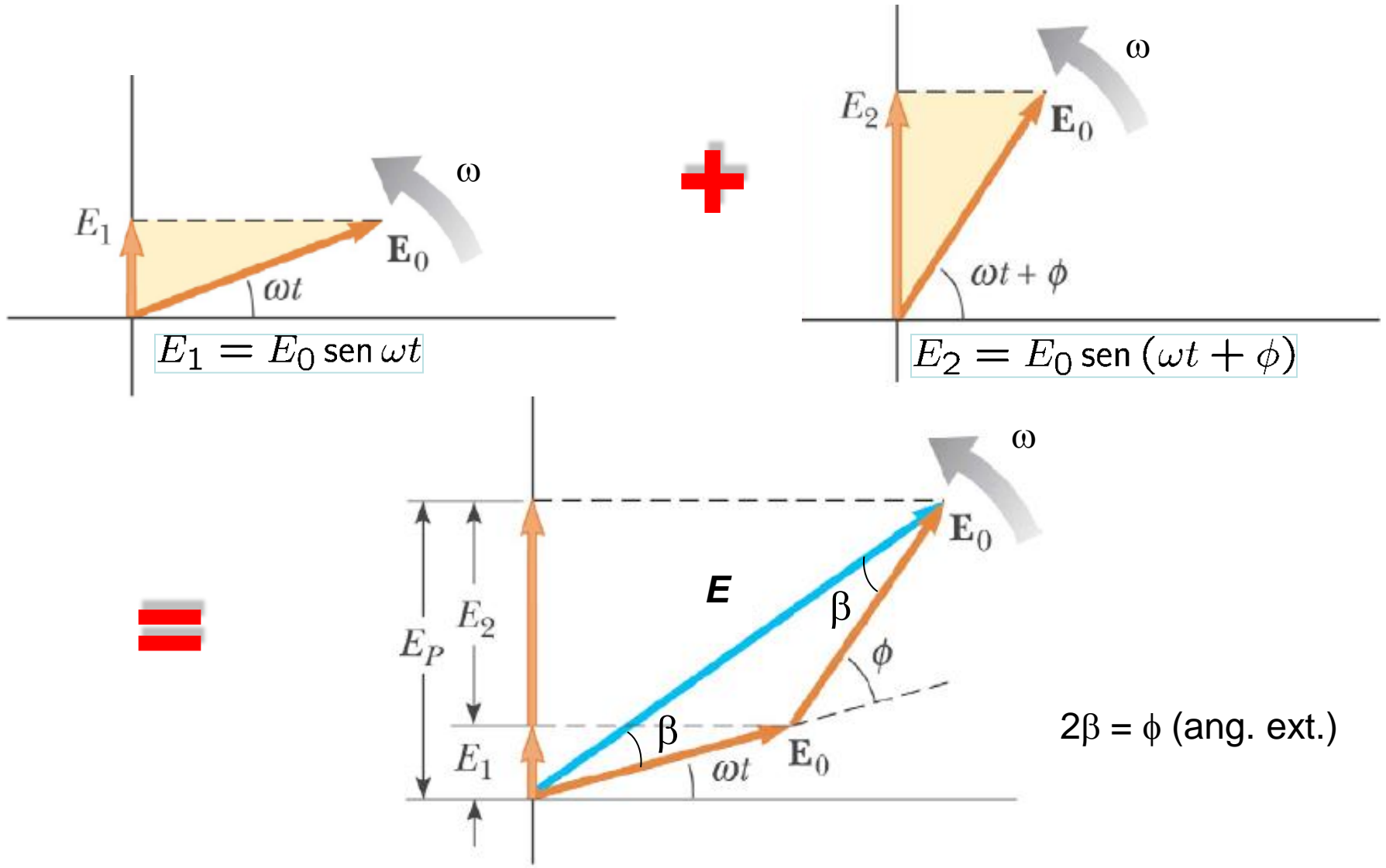
Se a diferença de fase  $\phi$  for constante no tempo (ondas coerentes), a interferência dependerá apenas da diferença de caminho  $d \sin \theta$ .

# Campo elétrico, representação senoidal e fasores

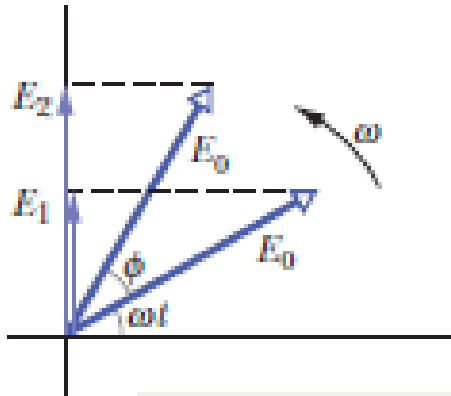


$$\vec{E}_1 = \vec{E}_0 \sin \omega t$$

# Combinando campos: fasores



# FASORES

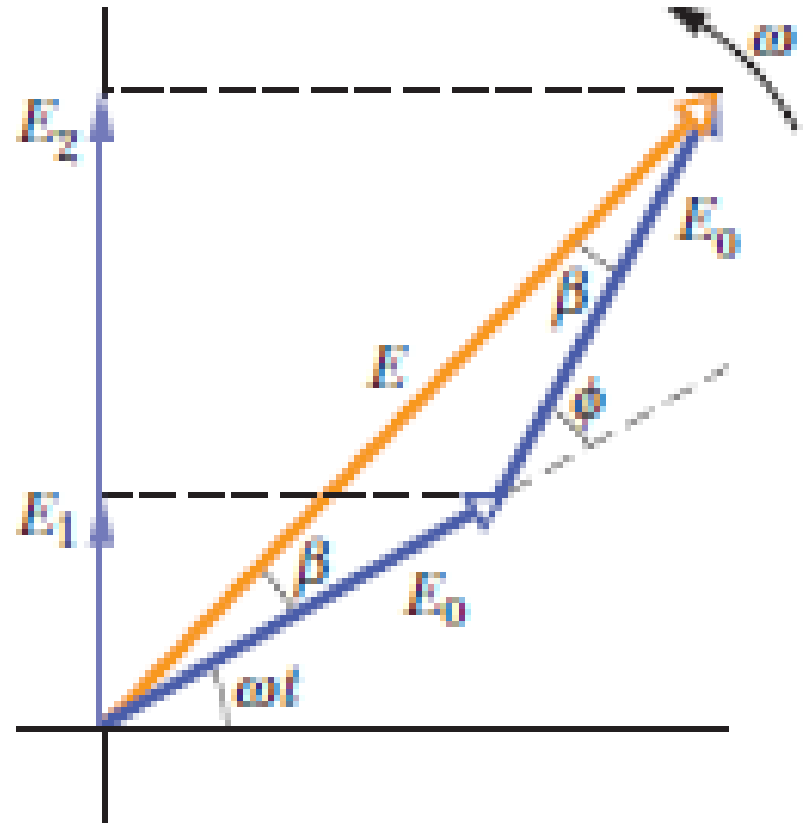


(a) Fasores que representam ondas podem ser somados para obter a onda resultante.

$$\vec{E}_1(\vec{r}, t) = \vec{E}_{01} \cos(\vec{k} \cdot \vec{r}_1 - \omega t)$$

$$\vec{E}_2(\vec{r}, t) = \vec{E}_{02} \cos(\vec{k} \cdot \vec{r}_2 - \omega t)$$

$$\phi = \vec{k} \cdot (\vec{r}_1 - \vec{r}_2) = \vec{k} \cdot \vec{\delta}$$



$$E = 2(E_0 \cos \beta) = 2E_0 \cos \frac{1}{2} \phi$$

$$I = 4I_0 \cos^2 \frac{1}{2} \phi$$



$$E = 2(E_0 \cos \beta) = 2E_0 \cos \frac{1}{2}\phi$$

$$\Rightarrow E^2 = 4E_0^2 \cos^2 \frac{1}{2}\phi$$

Como:

$$I \propto E^2 \Rightarrow \frac{I}{I_0} = \frac{E^2}{E_0^2}$$

Logo:

$$\Rightarrow I = 4I_0 \cos^2 \frac{1}{2}\phi$$

Intensidade da onda de apenas uma das fendas

Onde:

$$\phi = \frac{2\pi}{\lambda} d \sin \theta$$

diferença de fase

diferença de caminho ou distância percorrida

Máximos em:

$$\frac{1}{2}\phi = m\pi \quad , \quad m = 0, 1, 2, \dots$$

Então:

$$2m\pi = \frac{2\pi d}{\lambda} \sin \theta \quad , \quad m = 0, 1, 2, \dots$$

Ou:

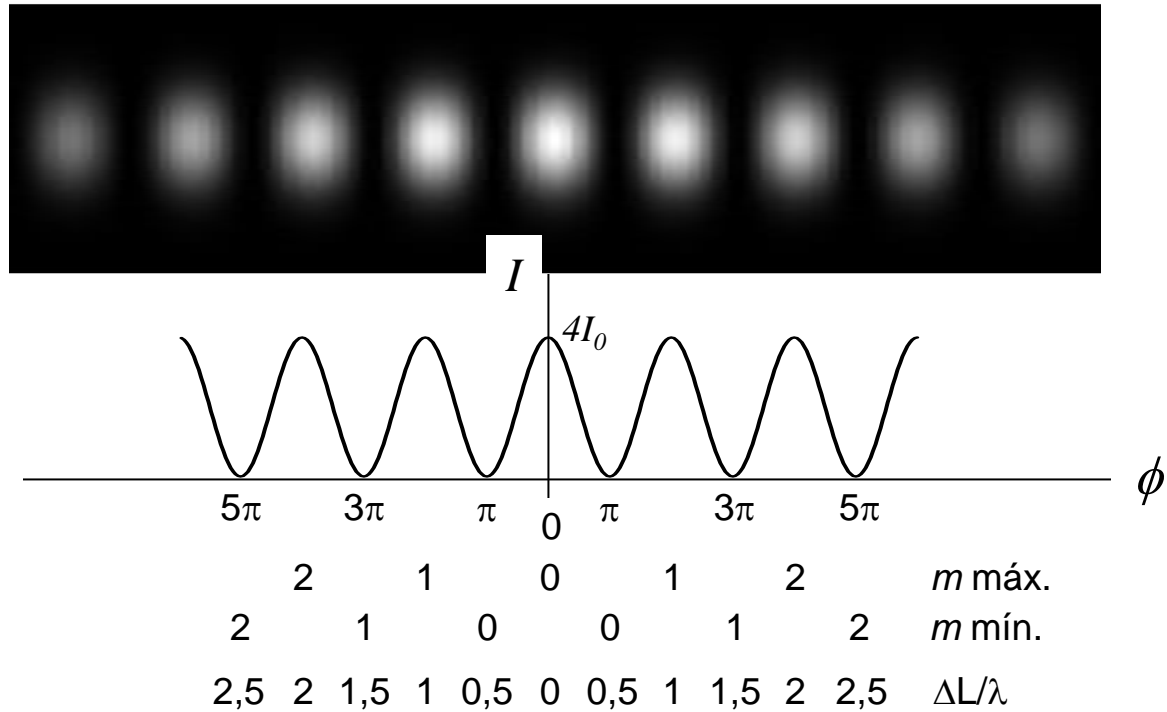
$$d \sin \theta = m\lambda \quad , \quad m = 0, 1, 2, \dots$$

Mínimos em:

$$\frac{1}{2}\phi = \left(m + \frac{1}{2}\right)\pi \quad , \quad m = 0, 1, 2, \dots$$

Ou:

$$d \sin \theta = \left(m + \frac{1}{2}\right)\lambda \quad , \quad m = 0, 1, 2, \dots$$



Se fontes incoerentes  $\phi \longrightarrow \phi(t)$  (fase não é constante no tempo)  $\Rightarrow I = 2 I_0$  (toda tela)

Interferência  $\rightarrow$  não cria nem destrói energia luminosa, apenas a redistribui!

$\Rightarrow$  Coerentes ou não  $\rightarrow I_{med} = 2 I_0$

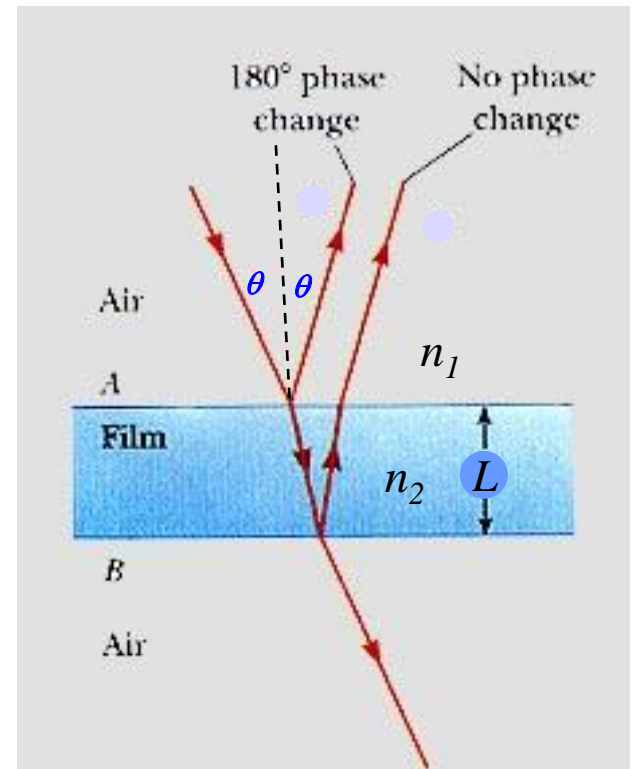
# Interferência em Filmes Finos



- Luz incidente em um filme fino apresenta efeitos de interferência associados à diferença de caminho óptico dentro do filme. **Considere:  $\theta \ll 1^\circ$  (incidência vertical)**

## Fatos:

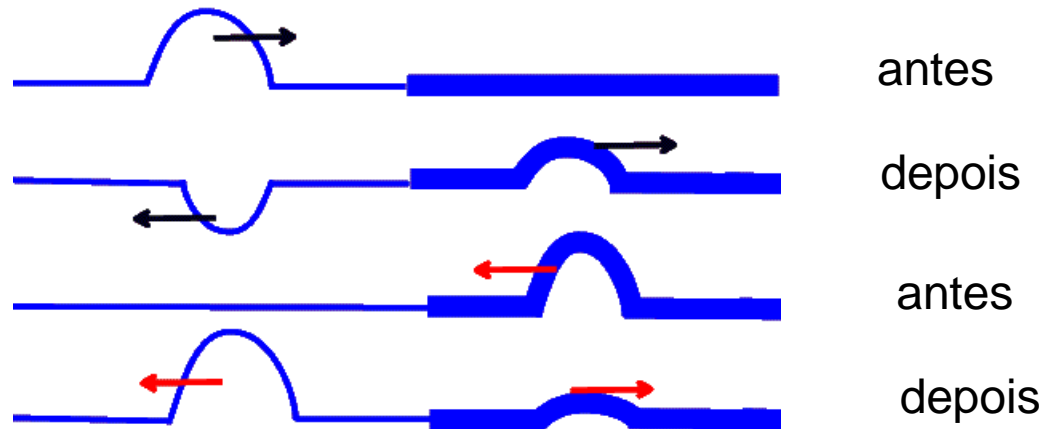
- Incidência de 1 para 2, onde  $n_2 > n_1$ : o raio refletido sofre uma mudança de fase de  $180^\circ$  ( $\pi$ ), e o raio refratado está em fase com o incidente;
- Incidência de 2 para 1, onde  $n_2 > n_1$ : o raio refletido não sofre mudança de fase e o raio refratado está em fase com o incidente.



# Mudanças de fase causadas por reflexão: analogia com o caso das ondas em cordas

Na refração a fase não muda.

Na reflexão a fase pode mudar ou não!



## No caso da luz:

| Reflexão           | mudança de fase |
|--------------------|-----------------|
| Meio com $n$ menor | 0               |
| Meio com $n$ maior | $\pi$           |

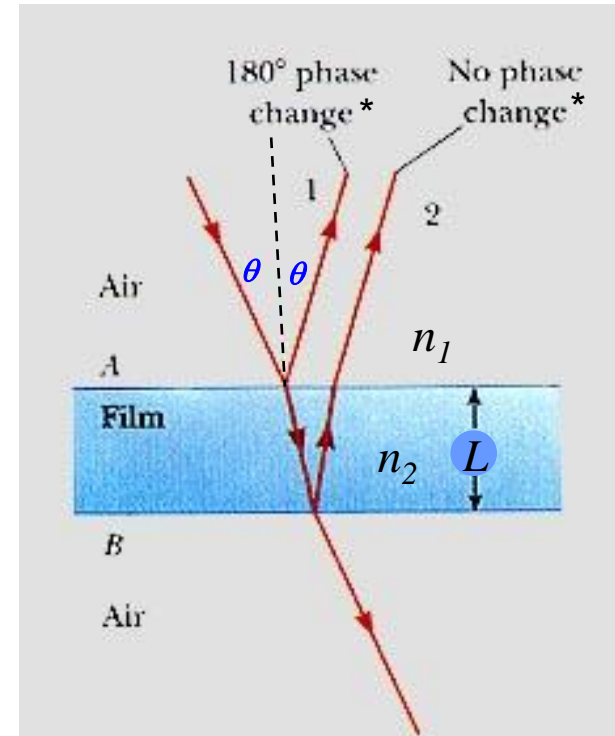
Temos os seguintes casos (similares\*):  $n_2 > n_1$  ou  $n_2 < n_1$

Interferência construtiva:

$$2L = \left(m + \frac{1}{2}\right)\lambda_2 = \left(m + \frac{1}{2}\right)\frac{\lambda}{n_2};$$

$$\lambda_2 n_2 = \lambda_1 n_1 = \lambda \text{ (ar } \sim \text{ vácuo)}$$

$$2n_2 L = \left(m + \frac{1}{2}\right)\lambda \quad m = 0, 1, 2, \dots$$



Interferência destrutiva:  $2L = m\lambda_2 = m\frac{\lambda}{n_2}$

$$2n_2 L = m\lambda \quad m = 0, 1, 2, \dots$$

Se  $n_1 \neq 1$  (não ar) e  $n_{21} \equiv \frac{n_2}{n_1}$

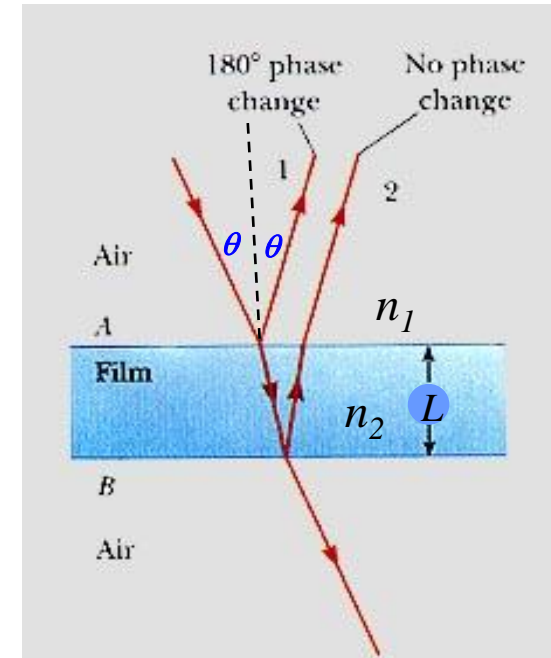
$$\lambda_2 n_2 = \lambda_1 n_1 = \lambda \text{ (ar)}$$

Interferência construtiva

$$2L = \left(m + \frac{1}{2}\right) \lambda_1 \frac{n_1}{n_2} \Rightarrow 2n_{21}L = \left(m + \frac{1}{2}\right) \lambda_1 ;$$

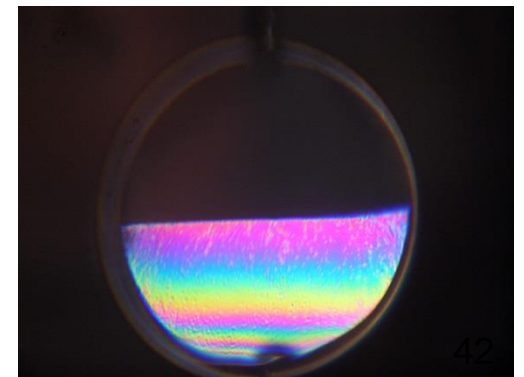
Interferência destrutiva

$$2L = m\lambda_2 = m\lambda_1 \frac{n_1}{n_2} \Rightarrow 2n_{21}L = m\lambda_1 ;$$



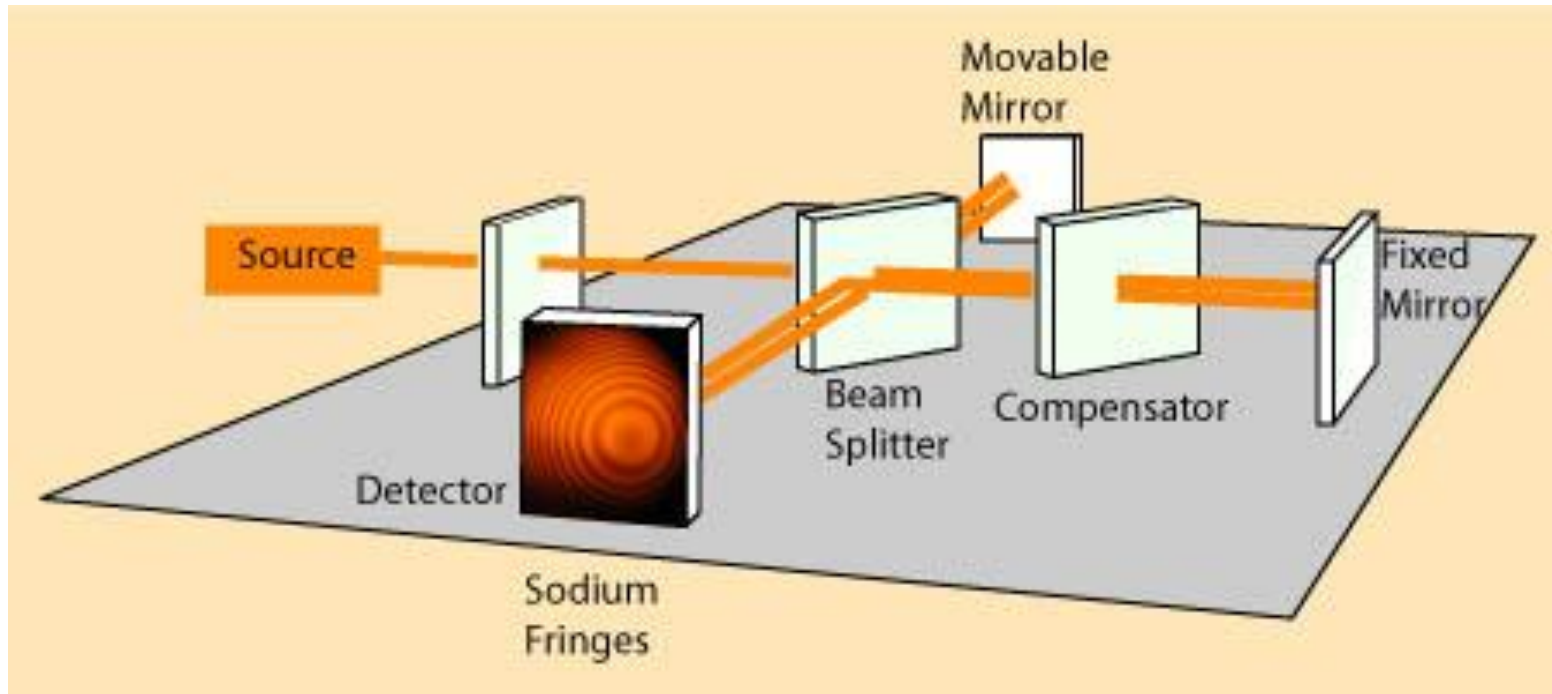
• Se  $\lambda \gg L$  devemos considerar apenas a defasagem devida à reflexão. Teremos:

$$\left. \begin{array}{l} n_2 > n_1 \\ n_2 < n_1 \end{array} \right\} \text{Interferência destrutiva}$$





# Interferômetro de Michelson



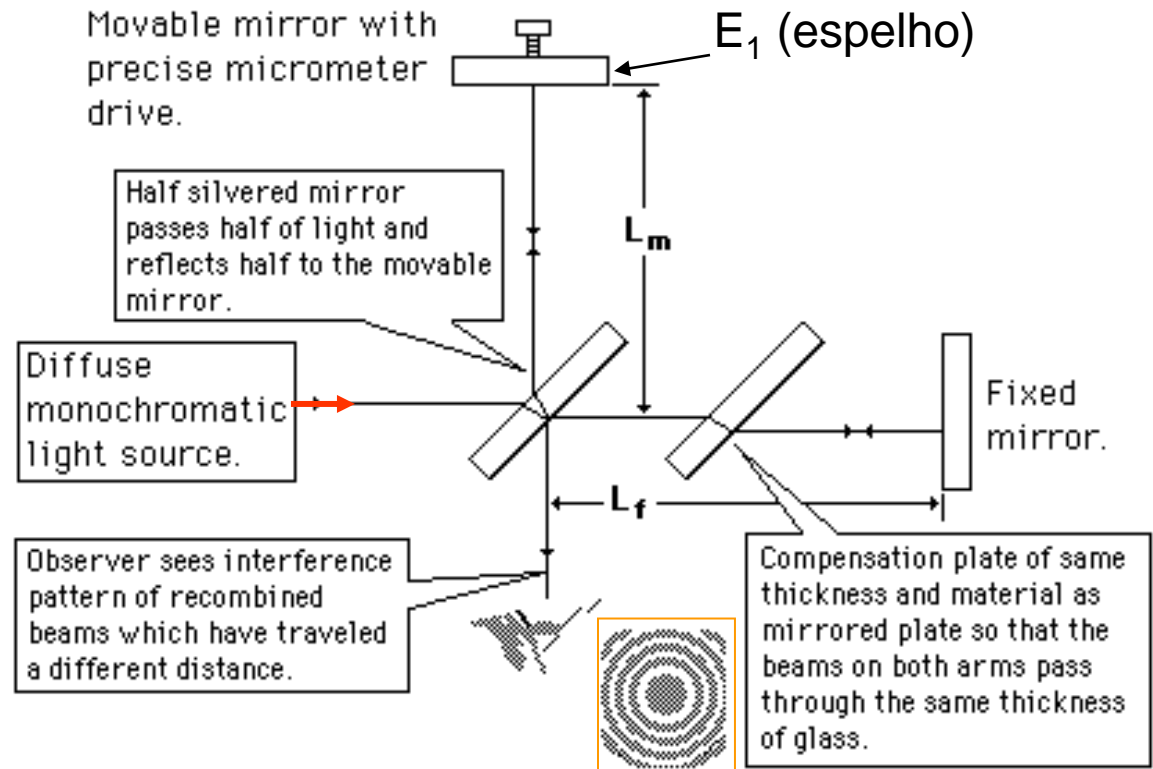
# Interferômetro de Michelson



# Interferômetro de Michelson

Diferença de caminho óptico:

$$2L_m - 2L_f$$



- Se a diferença de caminho for alterada, teremos modificação nas posições das franjas de interferência.
- Se  $E_1$  mudar sua posição de  $\lambda/2$ , todos os máximos se deslocarão para as posições dos máximos adjacentes ( $2 \times \lambda/2$ : uma franja).

# Interferômetro de Michelson

Introdução (em um dos braços) de material de espessura  $L$  e índice de refração  $n$  :

→ Número de comprimentos de onda no material

$$N_b = \frac{2Ln}{\lambda}$$

Número de comprimentos de onda em  $L$  antes da introdução

$$N_a = \frac{2L}{\lambda}$$

→ 
$$N_b - N_a = \frac{2L}{\lambda} (n - 1)$$

Cada máximo se desloca de  $N_b - N_a$  franjas de interferência

# Interferômetro de Michelson

- Michelson mostrou que o metro padrão era equivalente a 1.553.163,5 comprimentos de onda de uma luz monocromática emitida por uma fonte luminosa de Cádmio. Por esta medida ele ganhou o Prêmio Nobel de Física de 1907.
- Um aparato como este foi usado para testar a existência do “éter”, o meio onde a luz supostamente se propagaria. O resultado foi negativo, não sendo observado nenhum efeito de deslocamento nas franjas de interferência para diferentes posicionamentos dos braços do interferômetro. Esse fato levou à conclusão de que o “éter” não existia.

# Resumo da aula:

- Princípio de Huygens
- Comprimento de onda e índice de refração
- Coerência
- Experimento de Young da dupla fenda
- Intensidade de franjas de interferência
- Interferência em filmes finos
- Interferômetro de Michelson